

# گزارش درمانگاهی و مطالعه فراساختاری یک مورد تومور سلولهای لیدیگ بیضه در سگ

دکتر امید دزفولیان<sup>۱\*</sup> دکتر داریوش شیرانی<sup>۲</sup> دکتر مسعود سلک غفاری<sup>۳</sup> دکتر رضا نقشینه<sup>۱</sup> دکتر مهدی مرجانی<sup>۴</sup>

دریافت مقاله: ۲۶ فروردین ماه ۱۳۸۲  
پذیرش نهایی: ۴ آذر ماه ۱۳۸۲

## A clinical implication, history case report and ultrastructural study of Leydig cell tumor in canine testicle

Dezfoulian, O.,<sup>1</sup> Shirani, D.,<sup>2</sup> Ghaffari, M.,<sup>2</sup> Naghshineh, R.,<sup>1</sup> Margani, M.

<sup>1</sup>Department of Pathology, Faculty of Veterinary Medicine, University of Tehran, Tehran-Iran. <sup>2</sup>Department of Clinical Sciences, Faculty of Veterinary Medicine, University of Tehran, Tehran-Iran.

**Objectives:** Clinical case report of leydig cell tumor in dog.

**Design:** Clinical case study.

**History:** An eleven year old male German shepherd dog was referred, small animal hospital of faculty of veterinary medicine because of Anorexia. Because of poor body condition, the animal was euthanised and submitted for necropsy examination. Based on the light & electronic microscopic observation, leydig cell tumor was confirmed.

**Clinical implications:** Occurrence of tumor in dog is without clinical findings, therefore maybe testicles are not necroptize at necropsy. Thus the rate of tumor, must probably be higher than it is reported.

**Results:** Histopathology and ultrastructural observations, confirmed the leydig cell tumor. *J. Fac. Vet. Med. Univ. Tehran.* 59, 2: 197-198, 2004.

**Key words:** Leydig cell tumor, Interstitial, Electronic Microscope, Dog.

**Corresponding author email:** deza@vetmed.ut.ac.ir

بافت نمایان کرد (تصویر ۱). هر دو بیضه در وضعیت نرمال قرار داشتند. میکروسکوب نوری: قسمتهای غیرنؤپلیاستیک بیضه راست، کاملاً سالم و طبیعی به نظر می‌رسید. به طوری که اسپرماتوژن در تبویل‌های سمتی فروسر مشاهده گردید. بیضه چپ فاقد هر گونه تغییرات هیستولوژیک بود. در ارزیابی میکروسکوپی، سلولهای توموری به صورت گرد تا چند وجهی همراه با سیتوپلاسم اوزنوفیلی فراوان و واجد دانه‌های ریز بودند. اندازه‌های هسته‌ها متغیر و پلئومورفیسم به وضوح نمایان بود ولی اشکال میتوزی مشاهده نگردید. سلولهای توموری به حالت صفحات توپر آرایش گرفته و میزان استرومای نگهدارنده و عروق خونی با مقدار بسیار کم مابین آنها قرار داشتند (تصویر ۲).

میکروسکوب الکترونی: قرار گرفتن سلولها به صورت خوش‌ای در کنار یکدیگر (تصویر ۳) و هسته‌های گرد تا بیضی، همراه با مقادیر زیادی از قطرات چربی، شبکه اندوپلاسمیک فراوان و تراکم نسبتاً پایین میتوکندری‌ها همراه با وضوح ساختار داخل تبویل آنها (تصویر ۴) و فیلامنت‌های داخل سیتوپلاسمی که در میکروگراف الکترونی مشاهده گردید (تصویر ۵) از مهمترین ویژگیهای تومور سلولهای لیدیگ است.

هدف: گزارش درمانگاهی لیدیگ سل تومور در یک قلاده سگ ژرمن شپرد.  
طرح: مطالعه موردی بالینی.

تاریخچه: یک قلاده سگ ژرمن شپرد نر یازده ساله به علت کاهش اشتها به درمانگاه دامهای کوچک دانشکده دامپزشکی ارجاع گردید. در معاینات بالینی مورد غیر طبیعی مشاهده نگردید. به علت وضعیت نامناسب بیمار حیوان معدوم و در كالبدگشایی نمونه برداری از قسمتهای مختلف صورت گرفته و به بخش پاتولوژی ارسال شد. در بررسی میکروسکوپ نوری و الکترونی بافت بیضه، تومور سلولهای بینایینی بیضه تأیید گردید.

نتایج: مشاهدات هیستوتاپنولوژی و اولتراستراکچرال، تومور سلولهای لیدیگ را تأیید نمود.

نتیجه گیری: با توجه به اینکه وقوع تومور در سگ همراه با علایم درمانگاهی نمی‌باشد، بنابراین امکان دارد که در هنگام كالبدگشایی بیضه ها بازرسی نگرددند. به همین دلیل میزان وقوع تومور باید احتمالاً بالاتر از گزارش‌های موجود باشد.

مجله دانشکده دامپزشکی دانشگاه تهران، ۱۳۸۳(۱)، دوره ۵۹ شماره ۲، ۱۹۷-۱۹۸.

واژه‌های کلیدی: تومور سلولهای لیدیگ، بینایینی، میکروسکوپ الکترونی، سگ.

## مواد و روش کار

یک قلاده سگ نر ژرمن شپرد ۱۱ ساله به علت ضعف عمومی با درخواست صاحب آن با استفاده از دوز بالای داروی بیهوشی معدوم گردید. در معاینات بالینی و آزمایشات پاراکلینیکی مورد غیرطبیعی مشاهده نشده بود.

در نمونه برداری بافت‌های مختلف درون فرمالین بافر ۱۰ درصد قرار داده شد، مقاطع بافتی غالبگیری شده در پارافین تهیه و سپس با هماتوکسیلین-أوزن رنگ آمیزی صورت پذیرفت.

از بافت پایدار شده در فرمالین، قطعات ۱-۲ میلی متر بریده شد. در بافر کاکودیلات قرار گرفت، در گلوتاوآلدهید ۳ درصد ثابت شد، سپس مجدداً در بافر قرار داده شد و بالسمیوم تتروکسید ۲ درصد پایدار گردید. بافت‌های مورد نظر آب گیری و در اپون غالب گیری شد. سپس مقاطع بافتی با اورانیل استات و سیترات سرب رنگ آمیزی و با میکروسکوپ الکترونی انتقالی مشاهده گردید.

## نتایج

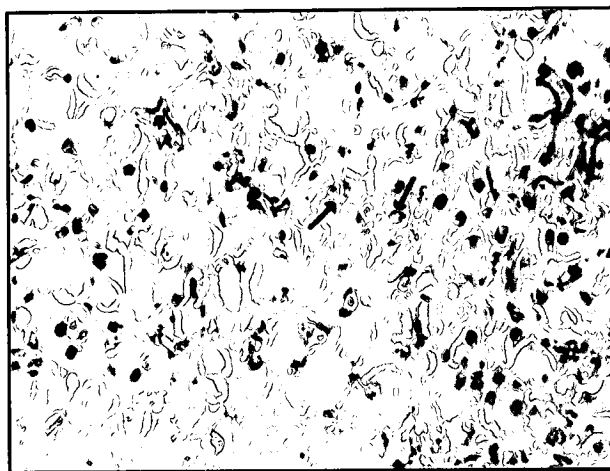
کالبدگشایی: در هنگام بازرسی تصادفی بیضه‌ها، اختلاف شکل و اندازه آنها جلب نظر نمود. بیضه سمت راست به ابعاد  $5 \times 1 \times 2.4$  سانتیمتر بزرگتر از بیضه طرف مقابل و کاملاً کروی شکل بود. برش عرضی از بیضه وجود کیستی را با محتویات لزج و شکننده و رنگ زرد کهربایی در سطح مقطع

(۱) گروه آموزشی پاتولوژی دانشکده دامپزشکی دانشگاه تهران، تهران - ایران.

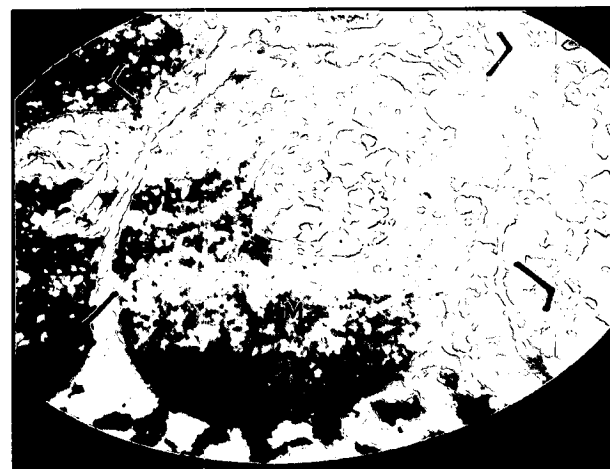
(۲) گروه آموزشی علوم درمانگاهی دانشکده دامپزشکی دانشگاه تهران، تهران - ایران.

\* نویسنده مسؤول deza@vetmed.ut.ac.ir





تصویر ۲- پلیومورفیسم هسته‌ها (بیکانها) و آرایش سلولهای توموری به صورت توپر همراه با استرومای کم و عروق اندک (\*). (رنگ آمیزی  $\times 400$  H&E)

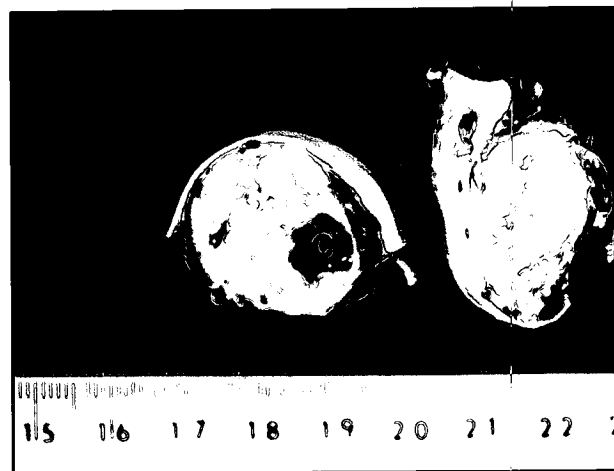


تصویر ۴- میتوکندری (M) ساختار داخل توبولی که از شاخصهای مهم تومور سلولهای لیدیگ است.  $\times 2000$ .

ساختاری این اجسام تاکنون ناشناخته مانده اما الگوی میکروسکوپی الکترونی، آنها را به صورت اجرام  $\delta$  ضلعی منظم نشان می‌دهد (۱). این اجرام در سلولهای لیدیگ طبیعی و سلولهای توموری سگ، ایجاد نمی‌گردند (۲).

### References

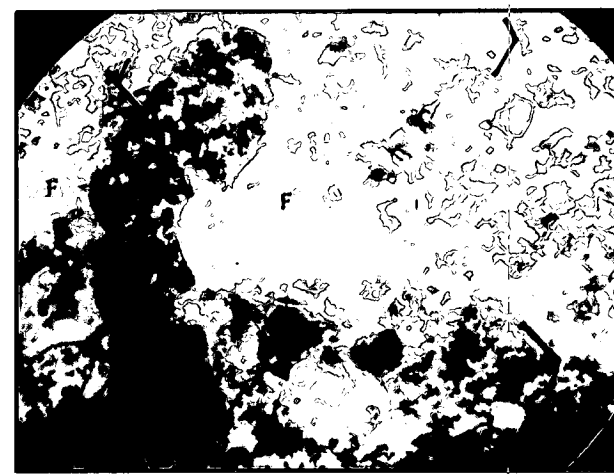
- Shimp, W.S. and Schultz, A.L. (1977): Leydig cell tumor of the testis with gynecomastia and elevated estrogen levels. Am. J. Clin. Pathol. 67: 562 -566.
- Von Bomhard, D., Pukkavesa, and Htaenichen, T. (1978): The ultrastructure of testicular tumors in the dog. I. Germinal cells & seminomas. II. Leydig cell & Leydig cell tumors. III. Sertoli& sertoli cell tumors & general conclusions. J. Comp. Pathol.



تصویر ۱- وجود کیست در سطح مقطع بیضه (C).



تصویر ۳- آرایش خوش‌ای سلولها هسته (N).  $\times 3960$ .



تصویر ۵- فیلامنتهای داخلی سیتوپلاسمی (F).  $\times 14000$ .

### بحث

مشاهده اجسام کریستالوئیدی رانکه در بررسی هیستولوژیک مهمترین تفاوت تشخیص بین تومور سلولهای لیدیگ انسان و حیوانات است. ماهیت

